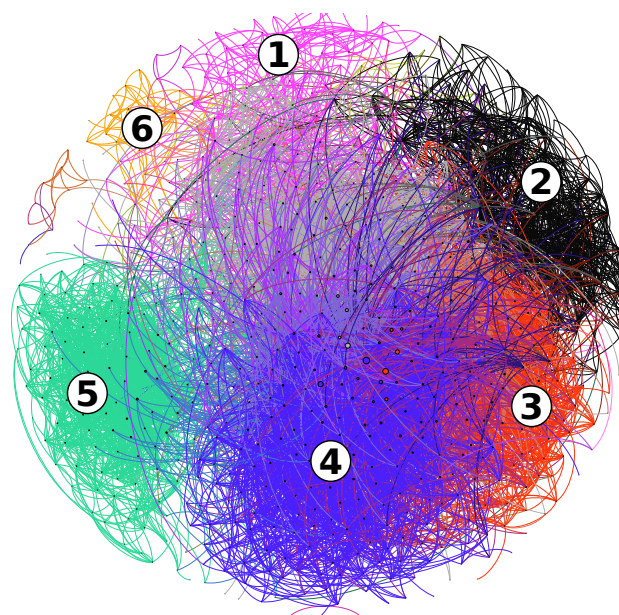


Rafael de Santiago

*Anotações para a Disciplina de Grafos*

Versão de 28 de março de 2019- 11:33:43



Universidade Federal de Santa Catarina



# Sumário

<b>1</b>	<b>Introdução</b>	<b>3</b>
1.1	Histórico	3
1.2	Definições Iniciais	4
1.2.1	Grafos Valorados ou Ponderados	6
1.2.2	Grafos Orientados	7
1.2.3	Hipergrafo	9
1.2.4	Multigrafo	9
1.2.5	Grau de um Vértice	9
1.2.6	Igualdade e Isomorfismo	9
1.2.7	Partição de Grafos	10
1.2.8	Matriz de Incidência	10
1.2.9	Operações com Grafos	10
1.2.10	Vizinhança	11
1.2.11	Grafo Regular	12
1.2.12	Grafo Simétrico	12
1.2.13	Grafo Anti-simétrico	12
1.2.14	Grafo Completo	13
1.2.15	Grafo Complementar	13
1.2.16	Percursos em Grafos	13
1.2.17	Cintura e Circunferência	13
<b>2</b>	<b>Representações Computacionais</b>	<b>15</b>
2.1	Lista de Adjacências	15
2.2	Matriz de Adjacências	16
2.3	Exercícios	17
<b>3</b>	<b>Buscas em Grafos</b>	<b>19</b>
3.1	Busca em Largura	19
3.1.1	Complexidade da Busca em Largura	20
3.1.2	Propriedades e Provas	20
3.1.2.1	Caminhos Mínimos	20
3.1.2.2	Árvores em Largura	23
3.2	Busca em Profundidade	24
3.2.1	Complexidade da Busca em Profundidade	24
<b>4</b>	<b>Caminhos e Ciclos</b>	<b>27</b>
4.1	Caminhos e Ciclos Eulerianos	27
4.1.1	Algoritmo de Hierholzer	29
4.2	Caminhos e Ciclos Hamiltonianos	31
4.2.1	Caixeiro Viajante	32
<b>5</b>	<b>Caminhos Mínimos</b>	<b>33</b>
5.1	Propriedades de Caminhos Mínimos	35
5.2	Bellman-Ford	38
5.2.1	Complexidade de Bellman-Ford	39
5.2.2	Corretude de Bellman-Ford	40
5.3	Dijkstra	41
5.4	Floyd-Warshall	41
	<b>Referências</b>	<b>45</b>
<b>A</b>	<b>Revisão de Matemática Discreta</b>	<b>47</b>



# Introdução

## 1.1 Histórico

Uma breve história do passado da Teoria de Grafos ([NETTO, 2006](#)):

- 1847: Kirchhoff utilizou modelos de grafos no estudo de circuitos elétricos, criando a teoria de árvores;
- 1857: Cayley usou grafos em química orgânica para enumeração de isômeros dos hidrocarbonetos alifáticos saturados;
- 1859: Hamilton inventou um jogo de buscar um percurso fechado envolvendo todos os vértices de um dodecaedro regular, de tal modo que cada vértice fosse visitado apenas uma vez;
- 1869: Jordan estudou matematicamente as árvores (grafos acíclicos);
- 1878: Sylvester foi o primeiro a utilizar o termo *graph*;
- 1879: Kempe não conseguiu demonstrar a conjectura das 4 cores;
- 1880: Tait falhou ao demonstrar uma prova falsa da conjectura das 4 cores;
- 1890: Heawood provou que a prova de Kempe estava errada e demonstrou uma prova consistente para 5 cores. A de 4 cores só saiu em 1976;

- 1912: Birkhoff definiu os polinômios cromáticos;
- 1926: Menger demonstrou um importante teorema sobre o problema de desconexão de itinerários em grafos;
- 1930: Kuratowski encontrou uma condição necessária e suficiente para a planaridade de um grafo;
- 1931: Whitney criou a noção de grafo dual;
- 1936: Primeiro livro sobre grafos foi lançado por König;
- 1941: Brooks enunciou um teorema fornecendo um limite para o número cromático de um grafo;
- 1941: Turán foi o primeiro da teoria extremal dos grafos;
- 1947: Tutte resolveu o problema da existência de uma cobertura minimal em um grafo;
- 1956+: Com as publicações de Ford e Fulkerson, Berge (1957) e Ore (1962), a teoria de grafos passa a receber mais interesse;

## 1.2 Definições Iniciais

Antes de visitar a representação de grafos, é importante que saibamos o que são vértices e arestas. Vértices geralmente são representados como unidades, elementos ou entidades, enquanto as arestas representam as ligações/conexões entre pares de vértices. Geralmente, chamaremos o conjunto de vértices de  $V$  e o conjunto de arestas de  $E$ . Define-se que  $E \subseteq V \times V$ . Também usaremos  $n$  e  $m$  para denotarem o número de vértices e arestas respectivamente, então  $n = |V|$  e  $m = |E|$ . O número de arestas possível em um grafo é  $\frac{n^2-n}{2}$ .

Um grafo pode ser representado de duas formas (CORMEN et al., 2012). A primeira forma é chamada de lista de adjacências e tem mais popularidade em artigos científicos.

Nela, o grafo é representado como uma dupla para especificar vértices e arestas. Por exemplo, para um grafo  $G$ , pode-se dizer que o mesmo é uma dupla  $G = (V, E)$ , especificando assim que o grafo  $G$  possui um conjunto  $V$  de vértices e  $E$  de arestas. A segunda forma seria uma através de uma matriz binária, chamada de matriz de adjacência. Normalmente representada pela letra  $A(G)$ , a matriz é definida por  $A(G) = \{0, 1\}^{|V| \times |V|}$ , a qual seus elementos  $a_{u,v} = 1$  se existir uma aresta entre os vértices  $u$  e  $v$ . Um exemplo das formas para um mesmo grafo pode ser visualizado no Exemplo 1.2.1.

**Example 1.2.1.** A Figura 1 exibe um grafo de 4 vértices e 4 arestas. Na representação por listas de adjacências, o grafo pode ser representado da seguinte forma

$$G = (\{1, 2, 3, 4\}, \{\{1, 2\}, \{1, 4\}, \{2, 4\}, \{3, 4\}\}). \quad (1.1)$$

A representação por uma matriz de adjacência ficaria assim

$$A(G) = \begin{array}{c|cccc} & 1 & 2 & 3 & 4 \\ \hline 1 & 0 & 1 & 0 & 1 \\ 2 & 1 & 0 & 0 & 1 \\ 3 & 0 & 0 & 0 & 1 \\ 4 & 1 & 1 & 1 & 0 \end{array}.$$

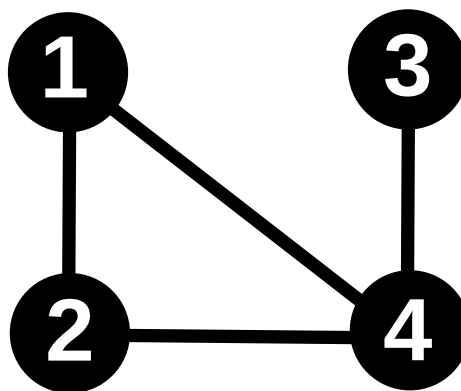


Figura 1 – Exemplo de grafo com 4 vértices e 4 arestas.

### 1.2.1 Grafos Valorados ou Ponderados

Um grafo é valorado quando um peso ou valor é associado a suas arestas. Na literatura, a definição do grafo passa a ser uma tripla  $G = (V, E, w)$ , na qual  $V$  é o conjunto de vértices,  $E$  é o conjunto de arestas e  $w : e \in E \rightarrow \mathbb{R}$  é a função que especifica o valor.

Quando não se possui valornas arestas, parte-se de uma relação binária entre existir ou não uma aresta entre dois vértices. Neste caso, se  $u$  e  $v$  possui uma aresta, geralmente se simboliza essa ligação com o valor 1, e se não existir 0.

Em uma matriz de adjacências para grafos valorados, o valor das arestas aparecem nas células da matriz. Em um par de vértices que não possui valor estabelecido (não há aresta), representa-se com uma lacuna ou com um valor simbólico para o problema que o grafo representa. Por exemplo, se os valores representam as distâncias, geralmente se associa o valor infinito aos pares de vértices que não possuem arestas.

Um exemplo de grafo valorado e suas representações pode ser visualizado no Exemplo 1.2.2.

---

**Example 1.2.2.** A Figura 2 exibe um grafo valorado de 4 vértices e 4 arestas. Na representação por listas de adjacências, o grafo pode ser representado da seguinte forma

$$G = (\{1, 2, 3, 4\}, \{\{1, 2\}, \{1, 4\}, \{2, 4\}, \{3, 4\}\}, w). \quad (1.2)$$

A função  $w$  teria os seguintes valores:  $w(\{1, 2\}) = 8$ ,  $w(\{1, 4\}) = 9$ ,  $w(\{2, 4\}) = 5$  e  $w(\{3, 4\}) = 7$ .

A representação por uma matriz de adjacência ficaria assim

$$A(G) =$$

	1	2	3	4
1	0	8	0	9
2	8	0	0	5
3	0	0	0	7
4	9	5	7	0



ou desta outra forma para o caso de uma aplicação a problemas que envolvam

distâncias

	1	2	3	4
1	$\infty$	8	$\infty$	9
2	8	$\infty$	$\infty$	5
3	$\infty$	$\infty$	$\infty$	7
4	9	5	7	$\infty$

$A(G) =$

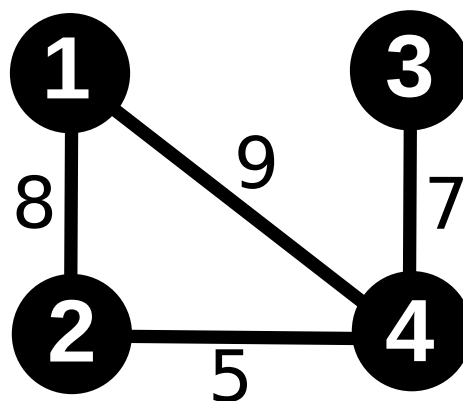


Figura 2 – Exemplo de grafo valorado com 4 vértices e 4 arestas.

## Grafos com Sinais

Para representar alguns problemas, utiliza-se valores negativos associados às arestas. Um exemplo disso, seriam grafos que representem relações de amizade e de inimizade. Para amizade, utiliza-se o valor 1 e para inimizade o valor  $-1$ . Nesse caso, não dizemos que o grafo é valorado ou ponderado, mas sim um grafo com sinais. Quando os valores negativos e positivos podem ser diferentes de 1 e  $-1$ , diz-se que os grafos são valorados e com sinais.

### 1.2.2 Grafos Orientados

Um grafo orientado é aquele no qual suas arestas possuem direção. Nesse caso, não chamamos mais de arestas e sim de arcos. Um grafo orientado é definido como uma

dupla  $G = (V, A)$ , a qual  $V$  é o conjunto de vértices e  $A$  é o conjunto de arcos. O conjunto de arcos é composto por pares ordenados  $(u, v)$ , os quais  $u, v \in V$  e representam um arco saindo de  $u$  e incidindo em  $v$ . Duas funções importantes devem ser consideradas nesse contexto: a função de arcos saíntes  $\delta^+(v) = \{(v, u) : (v, u) \in A\}$  e arcos entrantes  $\delta^-(v) = \{(u, v) : (u, v) \in A\}$ .

O Exemplo 1.2.3 exibe a representação de um grafo orientado.

**Example 1.2.3.** A Figura 3 exibe um grafo orientado de 4 vértices e 4 arestas. Na representação por listas de adjacências, o grafo pode ser representado da seguinte forma

$$G = (\{1, 2, 3, 4\}, \{(1, 4), (2, 1), (4, 2), (4, 3)\}). \quad (1.3)$$

A representação por uma matriz de adjacência ficaria assim

$$A(G) = \begin{array}{c|cccc} & 1 & 2 & 3 & 4 \\ \hline 1 & 0 & 0 & 0 & 1 \\ 2 & 1 & 0 & 0 & 0 \\ 3 & 0 & 0 & 0 & 0 \\ 4 & 0 & 1 & 1 & 0 \end{array}.$$

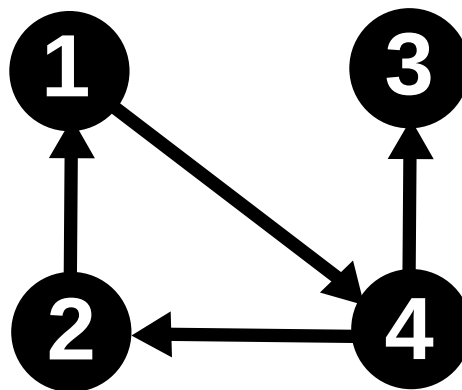


Figura 3 – Exemplo de grafo orientado com 4 vértices e 4 arcos.

### 1.2.3 Hipergrafo

Um hipergrafo  $H = (V, E)$  é um grafo no qual as arestas podem conectar qualquer número de vértices. Cada aresta é chamada de hiperaresta  $E \subseteq 2^V \setminus \{\emptyset\}$ .

### 1.2.4 Multigrafo

Um multigrafo  $G = (V, E)$  é um grafo que permite múltiplas arestas para o mesmo par de vértices. Logo, não se tem mais um conjunto de arestas, mas sim uma tupla de arestas.

Para o exemplo da Figura 4, têm-se  $E = (\{1, 2\}, \{1, 2\}, \{1, 4\}, \{2, 4\}, \{3, 4\}, \{3, 4\})$ .

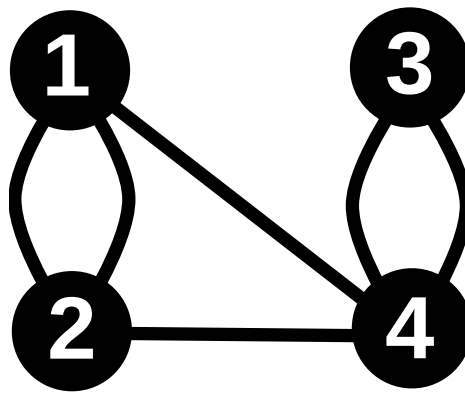


Figura 4 – Exemplo de um multigrafo com 4 vértices e 6 arestas.

### 1.2.5 Grau de um Vértice

O grau de um vértice é a quantidade de arestas que se conectam a determinado vértice. É denotada por uma função  $d_v$ , onde  $v \in V$ . Em um grafo orientado, o número de arcos saíntes para um vértice  $v$  é denotado por  $d_v^+$ , e o número de arcos entrantes é denotado por  $d_v^-$ .

### 1.2.6 Igualdade e Isomorfismo

Diz-se que dois grafos  $G_1 = (V_1, E_1)$  e  $G_2 = (V_2, E_2)$  são iguais se  $V_1 = V_2$  e  $E_1 = E_2$ . Os dois grafos são considerados isomorfos se existir uma função bijetora (uma-por-uma) para todo  $v \in V_1$  e para todo  $u \in V_2$  preserve as relações de adjacência (NETTO, 2006).

### 1.2.7 Partição de Grafos

Uma partição de um grafo é uma divisão disjunta de seu conjunto de vértices. Um grafo  $G = (V, E)$  é dito  $k$ -partido se existir uma partição  $P = \{p_i | i = 1, \dots, k \wedge \forall j \in \{1, \dots, k\}, j \neq i(p_i \cap p_j \neq \{\})\}$ . Quando  $k = 2$ , diz-se que o grafo é bipartido (NETTO, 2006).

### 1.2.8 Matriz de Incidência

Sobre um grafo orientado  $G = (V, E)$ , uma matriz de incidência  $B(G) = \{+1, -1\}^{|V| \times |A|}$  mapeia a origem e o destino de cada arco no grafo  $G$ . Dado um arco  $(u, v)$ ,  $b_{u,(u,v)} = +1$  e  $b_{v,(u,v)} = -1$  (NETTO, 2006).

### 1.2.9 Operações com Grafos

As seguintes operações binárias são descritas em Netto (2006):

- **União:** Dados os grafos  $G_1 = (V_1, E_1)$  e  $G_2 = (V_2, E_2)$ ,  $G_1 \cup G_2 = (V_1 \cup V_2, E_1 \cup E_2)$ ;
- **Soma (ou join):** Dados os grafos  $G_1 = (V_1, E_1)$  e  $G_2 = (V_2, E_2)$ ,  $G_1 + G_2 = (V_1 \cup V_2, E_1 \cup E_2 \cup \{(u, v) : u \in V_1 \wedge v \in V_2\})$ ;
- **Produto cartesiano:** Dados os grafos  $G_1 = (V_1, E_1)$  e  $G_2 = (V_2, E_2)$ ,  $G_1 \times G_2 = (V_1 \times V_2, E)$ , onde  $E = \{(v, w), (x, y) : (v = x \wedge \{w, y\} \in E_2) \vee (w = y \wedge \{x, y\} \in E_1)\}$ .  $G_1 \times G_2$  e  $G_2 \times G_1$  são isomorfos;
- **Composição ou produto lexicográfico:** Dados os grafos  $G_1 = (V_1, E_1)$  e  $G_2 = (V_2, E_2)$ ,  $G_1 \circ G_2 = (V_1 \times V_2, E)$ , onde  $E = \{(v, w), (x, y) : (\{v, x\} \in E_1 \vee v = x) \wedge \{w, y\} \in E_2\}$ ;
- **Soma de arestas:** Dados os grafos  $G_1 = (V_1, E_1)$  e  $G_2 = (V_2, E_2)$ , os quais  $V_1 = V_2$ ,  $G_1 \oplus G_2 = (V_1, E_1 \cup E_2)$ .

A seguinte operação unária é descrita em Netto (2006):

- **Contração de dois vértices:** Dado um grafo  $G = (V, E)$  e dois vértices  $u, v \in V$ , a operação de contração desses dois vértices em  $G$ , gera um grafo  $G' = (V', E')$  o qual  $V' = V \setminus \{u, v\} \cup \{uv\}$  e  $E' = \{\{x, y\} \in E : x \neq u \wedge x \neq v\} \cup \{\{x, uv\} : \{x, u\}, \{x, v\} \in E\}$ .

Outras operações sobre grafos são descritas na literatura. Esse texto irá omiti-las por enquanto para que sejam utilizados no momento mais oportuno. São elas: inserção e remoção de vértices e arestas, desdobramento de um vértice. Essa última depende do contexto de aplicação.

### 1.2.10 Vizinhança

A vizinhança de vértices é diferente para grafos não-orientados e orientados. Para um grafo não-orientado  $G = (V, E)$ , uma função de vizinhança é definida por  $N : v \in V \rightarrow \{u \in V : \{v, u\} \in E\}$  e indica o conjunto de todos os vizinhos de um vértice específico. Para o grafo do Exemplo 1.2.1,  $N(1) = \{2, 4\}$ .

Para um grafo orientado  $G = (V, A)$ , diz-se que um vértice  $u \in V$  é sucessor de  $v \in V$  quando  $(v, u) \in A$ ; e  $u \in V$  é antecessor de  $v \in V$  quando  $(u, v) \in A$ . As funções de vizinhança para um grafo orientado  $G$  são  $N^+ : v \in V \rightarrow \{u \in V : (v, u) \in A\}$ ,  $N^- : v \in V \rightarrow \{u \in V : (u, v) \in A\}$ , e  $N(v) = N^+(v) \cup N^-(v)$ .

Diz-se que a vizinhança de  $v$  é fechada quando esse mesmo vértice se inclui no conjunto de vizinhos. A função que representa vizinhança fechada  $v$  é simbolizada neste texto como  $N_*(v) = N(v) \cup \{v\}$ .

As funções de vizinhança também podem ser utilizadas para identificar um conjunto de vértices vizinhos de um grupo de vértices em um grafo  $G = (V, E)$  (orientado ou não). Nesse contexto,  $N(S) = \bigcup_{v \in S} N(v)$ ,  $N^+(S) = \bigcup_{v \in S} N^+(v)$ , e  $N^-(S) = \bigcup_{v \in S} N^-(v)$ .

As noções de sucessor e antecessor podem ser aplicadas iterativamente. As Equações (1.4), (1.5), (1.6) e (1.7) exibem exemplos de fechos transitivos diretos.

$$N^0(v) = \{v\} \tag{1.4}$$

$$N^{+1}(v) = N^+(v) \quad (1.5)$$

$$N^{+2}(v) = N^+(N^{+1}(v)) \quad (1.6)$$

$$N^{+n}(v) = N^+(N^{+(n-1)}(v)) \quad (1.7)$$

Chama-se de fecho transitivo direto aqueles que correspondem aos vizinhos sucessivos e os inversos os que correspondem aos vizinhos antecessores. Um fecho transitivo direto de um vértice  $v$  de um grafo  $G = (V, E)$  são todos os vértices atingíveis a partir  $v$  no grafo  $G$ ; ele é representado pela função  $R^+(v) = \bigcup_{k=0}^{|V|} N^{+k}(v)$ . Um fecho transitivo inverso de  $v$  é o conjunto de vértices que atingem  $v$ ; ele é representado pela função  $R^-(v) = \bigcup_{k=0}^{|V|} N^{-k}(v)$ . Diz-se que  $w$  é descendente de  $v$  se  $w \in R^+(v)$ . Diz-se que  $w$  é ascendente de  $v$  se  $w \in R^-(v)$ .

### 1.2.11 Grafo Regular

Um grafo não-orientado  $G = (V, E)$  que tenha  $d(v) = k \forall v \in V$  é chamado de grafo  $k$ -regular ou de grau  $k$ . Um grafo orientado  $G_o = (V, A)$  que possui a propriedade  $d^+(v) = k \forall v \in V$  é chamado de grafo exteriormente regular de semigrau  $k$ . Se  $G_o$  tiver  $d^-(v) = k \forall v \in V$  é chamado de grafo interiormente regular de semigrau  $k$ .

### 1.2.12 Grafo Simétrico

Um grafo orientado  $G = (V, A)$  é simétrico se  $(u, v) \in A \iff (v, u) \in A \forall u, v \in V$ .

### 1.2.13 Grafo Anti-simétrico

Um grafo orientado  $G = (V, A)$  é anti-simétrico se  $(u, v) \in A \iff (v, u) \notin A \forall u, v \in V$ .

### 1.2.14 Grafo Completo

Um grafo completo  $G = (V, E)$  é completo se  $E = V \times V$ .

Grafos bipartidos completos  $G_B = ((X, Y), E)$  possuem  $E = X \times Y$ .

### 1.2.15 Grafo Complementar

Para um grafo  $G = (V, E)$ , um grafo complementar é definido por  $G^c = \overline{G} = (V, (V \times V) \setminus E)$ .

### 1.2.16 Percursos em Grafos

“Um percurso, itinerário ou cadeia é uma família de ligações sucessivamente adjacentes, cada uma tendo uma extremidade adjacente a anterior e a outra à subsequente (à exceção da primeira e da última)” (NETTO, 2006). Diz-se que um percurso é aberto quando a última ligação é adjacente a primeira. Têm-se desse modo um ciclo.

Um percurso é considerado simples se não repetir ligações (NETTO, 2006).

Caminhos são cadeias em grafos orientados.

Circuitos são ciclos em grafos orientados.

### 1.2.17 Cintura e Circunferência

Cintura de um grafo  $G$  é comprimento do menor ciclo existente no grafo. É representada pela função  $g(G)$ . A circunferência é comprimento do maior ciclo. A circunferência do grafo  $G$  é representada pela função  $c(G)$ .





## Representações Computacionais

Duas formas de representação computacional de grafos são amplamente utilizadas. São elas “listas de adjacências” e “por matriz de adjacências” (CORMEN et al., 2012). Elas possuem vantagens e desvantagens principalmente relacionadas à complexidade computacional (consumo de recursos em tempo e espaço). Detalhes sobre vantagens e desvantagens não aparecerão nesse documento. Um de nossos objetivos do momento será implementar e avaliar as duas formas de representação.

### 2.1 Lista de Adjacências

A representação de um grafo  $G = (V, E)$  por listas de adjacências consiste em um arranjo, chamado aqui de *Adj*. Esse arranjo é composto por  $|V|$  listas, e cada posição do arranjo representa as adjacências de um vértice específico (CORMEN et al., 2012). Para cada  $\{u, v\} \in E$ , têm-se  $Adj[u] = (\dots, v, \dots)$  e  $Adj[v] = (\dots, u, \dots)$  quando  $G$  for não-dirigido. Quando  $G$  for dirigido, para cada  $(u, v) \in E$ , têm-se  $Adj[u] = (\dots, v, \dots)$ .

Para grafos ponderados, Cormen et al. (2012) sugere o uso da própria estrutura de adjacências para armazenar o peso. Dado um grafo ponderado não-dirigido  $G = (V, E, w)$ , para cada  $\{u, v\} \in E$ , têm-se  $Adj[u] = (\dots, (v, w(\{u, v\})), \dots)$  e  $Adj[v] = (\dots, (u, w(\{u, v\})), \dots)$ . Quando o grafo for dirigido, para cada  $(u, v) \in E$ , têm-se  $Adj[u] = (\dots, (v, w((u, v))), \dots)$ .

O Algoritmo 1 representa a carga de um grafo dirigido e ponderado  $G = (V, A, w)$  em uma lista de adjacências  $Adj$ .

---

**Algoritmo 1:** Criação de uma lista de adjacências para um grafo dirigido e ponderado.

---

**Input** : um grafo dirigido e ponderado  $G = (V, A, w)$

```

1 criar arranjo  $Adj[|V|]$ 
2 foreach  $v \in V$  do
3    $Adj[v] \leftarrow \text{listaVazia}()$ 
4 foreach  $(u, v) \in A$  do
5    $Adj[u] \leftarrow Adj[u] \cup (v, w((u, v)))$ 
6 return  $Adj$ 

```

---

## 2.2 Matriz de Adjacências

Uma matriz de adjacência é uma representação de um grafo através de uma matriz  $A$ . Para um grafo não-dirigido  $G = (V, E)$ ,  $A = \mathbb{B}^{|V| \times |V|}$ , na qual cada elemento  $a_{u,v} = 1$  e  $a_{v,u} = 1$  se  $\{u, v\} \in E$ ;  $a_{u,v} = 0$  e  $a_{v,u} = 0$  caso  $\{u, v\} \notin E$ . Para todo grafo não-dirigido  $G$ ,  $a_{u,v} = a_{v,u}$ .

Para um grafo dirigido  $G = (V, X)$ ,  $A = \mathbb{B}^{|V| \times |V|}$ , na qual cada elemento  $a_{u,v} = 1$  se  $(u, v) \in X$ ;  $a_{u,v} = 0$  e  $a_{v,u} = 0$  caso  $(u, v) \notin X$ .

Para um grafo não-dirigido e ponderado  $G = (V, E, w)$ , a matriz será formada por células que comportem o tipo de dado representado pelos pesos. Assumindo que os pesos serão números reais, então a matriz de adjacências será  $A = \mathbb{R}^{|V| \times |V|}$ . Cada elemento  $a_{u,v} = w(\{u, v\})$  e  $a_{v,u} = w(\{u, v\})$  se  $\{u, v\} \in E$ ;  $a_{u,v} = \epsilon$  e  $a_{v,u} = \epsilon$  caso  $\{u, v\} \notin E$ .  $\epsilon$  é um valor que representa a não conexão, geralmente 0,  $+\infty$  ou  $-\infty$  dependendo do contexto de aplicação.

O Algoritmo 2 representa a carga de um grafo dirigido e ponderado  $G = (V, A, w)$  em uma matriz de adjacências  $Adj$ .

---

**Algoritmo 2:** Criação de uma matriz de adjacências para um grafo dirigido e ponderado.

---

**Input** : um grafo dirigido e ponderado  $G = (V, A, w : A \rightarrow \mathbb{R})$ , um símbolo  $\epsilon$  que representa a não adjacência

```

1  $Adj \leftarrow \mathbb{R}^{|V| \times |V|}$ 
2 foreach  $v \in V$  do
3   foreach  $u \in V$  do
4      $Adj_{u,v} \leftarrow \epsilon$ 
5 foreach  $(u, v) \in A$  do
6    $Adj_{u,v} \leftarrow w((u, v))$ 
7 return  $Adj$ 

```

---

## 2.3 Exercícios

Implemente as duas bibliotecas para grafos. Preencha a seguinte tabela a partir da análise computacional, de acordo com as operações abaixo determinadas.

	Lista de Adjacências	Matriz de Adjacências
<b>Inserção de vértice</b>		
<b>inserção de arestas</b>		
<b>Remoção de vértice</b>		
<b>Remoção de arestas</b>		
<b>Teste se <math>\{u, v\} \in E</math></b>		
<b>Percorrer vizinhos</b>		
<b>Grau de um vértice</b>		



## Buscas em Grafos

### 3.1 Busca em Largura

Dado um grafo  $G = (V, E)$  e uma origem  $s$ , a **busca em largura** (Breadth-First Search - BFS) explora as arestas/arcos de  $G$  a partir de  $s$  para cada vértice que pode ser atingido a partir de  $s$ . É uma exploração por nível. O procedimento descobre as distâncias (número de arestas/arcos) entre  $s$  e os demais vértices atingíveis de  $G$ . Pode ser aplicado para grafos orientados e não-orientados (CORMEN et al., 2012).

O algoritmo pode produzir uma árvore de busca em largura com raiz  $s$ . Nesta árvore, o caminho de  $s$  até qualquer outro vértice é um caminho mínimo em número de arestas/arcos (CORMEN et al., 2012).

O Algoritmo 3 descreve as operações realizadas em uma busca em largura. Nele, criam-se três estruturas de dados que serão utilizados para armazenar os resultados da busca. O arranjo  $C_v$  é utilizado para determinar se um vértice  $v \in V$  foi visitado ou não;  $D_v$  determina a distância percorrida até encontrar o vértice  $v \in V$ ; e  $A_v$  determina o vértice antecessor ao  $v \in V$  em uma busca em largura a partir de  $s$  (CORMEN et al., 2012).

**Algoritmo 3:** Busca em largura.

---

```

Input : um grafo  $G = (V, E)$ , vértice de origem  $s \in V$ 
// configurando todos os vértices
1  $C_v \leftarrow \text{false} \forall v \in V$ 
2  $D_v \leftarrow \infty \forall v \in V$ 
3  $A_v \leftarrow \text{null} \forall v \in V$ 
// configurando o vértice de origem
4  $C_s \leftarrow \text{true}$ 
5  $D_s \leftarrow 0$ 
// preparando fila de visitas
6  $Q \leftarrow \text{Fila}()$ 
7  $Q.\text{enqueue}(s)$ 
// propagação das visitas
8 while  $Q.\text{empty}() = \text{false}$  do
9    $u \leftarrow Q.\text{dequeue}()$ 
10  foreach  $v \in N(u)$  do
11    if  $C_v = \text{false}$  then
12       $C_v \leftarrow \text{true}$ 
13       $D_v \leftarrow D_u + 1$ 
14       $A_v \leftarrow u$ 
15       $Q.\text{enqueue}(v)$ 
16 return  $(D, A)$ 

```

---

### 3.1.1 Complexidade da Busca em Largura

O número de operações de enfileiramento e desenfileiramento é limitado a  $|V|$  vezes, pois visita-se no máximo  $|V|$  vértices. Como as operações de enfileirar e desenfileirar podem ser realizadas em tempo  $\Theta(1)$ , então para realizar estas operações demanda-se tempo de  $O(|V|)$ . Deve-se considerar ainda, que muitas arestas/arcs incidem em vértices já visitados, então inclui-se na complexidade de uma BFS a varredura de todas as adjacências, que demandaria  $\Theta(|E|)$ . Diz-se então, que a complexidade computacional da BFS é  $O(|V| + |E|)$ .

### 3.1.2 Propriedades e Provas

#### 3.1.2.1 Caminhos Mínimos

A busca em largura garante a descoberta dos caminhos mínimos em um grafo não-ponderados  $G = (V, E)$  de um vértice de origem  $s \in V$  para todos os demais atingíveis.

Para demonstrar isso, [Cormen et al. \(2012\)](#) examina algumas propriedades importantes a seguir. Considere a distância de um caminho mínimo  $\delta(s, v)$  de  $s$  a  $v$  como o número mínimo de arestas/arcos necessários para percorrer esse caminho.

**Lema 3.1.1.** *Seja  $G = (V, E)$  um grafo orientado ou não-orientado e seja  $s \in V$  um vértice arbitrário, então  $\delta(s, v) \leq \delta(s, u) + 1$  para qualquer aresta/arco  $(u, v) \in E$ .*

**Prova:** Se  $u$  pode ser atingido a partir de  $s$ , então o mesmo ocorre com  $v$ . Desse modo, o caminho mínimo de  $s$  para  $v$  não pode ser mais longo do que o caminho de  $s$  para  $u$  seguido pela aresta/arco  $(u, v)$  e a desigualdade vale. Se  $u$  não pode ser alcançado por  $s$ , então  $\delta(s, u) = \infty$ , e a desigualdade é válida. ■

**Lema 3.1.2.** *Seja  $G = (V, E)$  um grafo orientado ou não-orientado e suponha que  $G$  tenha sido submetido ao algoritmo BFS (Algoritmo 3) partindo de um dado vértice de origem  $s \in V$ . Ao parar, o algoritmo BFS satisfará  $D_v \geq \delta(s, v) \forall v \in V$ .*

**Prova:** Utiliza-se a indução em relação ao número de operações de enfileiramento (*enqueue*). A hipótese indutiva é  $D_v \geq \delta(s, v) \forall v \in V$ .

A base da indução é a situação imediatamente após  $s$  ser enfileirado na linha 7 do Algoritmo 3. A hipótese indutiva se mantém válida nesse momento porque  $D_s = 0 = \delta(s, s)$  e  $D_v = \infty \geq \delta(s, v) \forall v \in V \setminus \{s\}$ .

Para o passo da indução, considere um vértice  $v$  não-visitado ( $C_v = \text{false}$ ) que é descoberto depois do último desempinhamento. Consideramos que o vértice desempinhado é  $u \in V$ . A hipótese da indução implica que  $D_u \geq \delta(s, u)$ . Pela atribuição da linha 13 e pelo Lema 3.1.1, obtem-se

$$D_v = D_u + 1 \geq \delta(s, u) + 1 \geq \delta(s, v). \quad (3.1)$$

Então, o vértice  $v$  é enfileirado e nunca será enfileirado novamente porque ele também é marcado como visitado e as operações entre as linhas 12 e 15 são apenas executadas para vértices não-visitados. Desse modo, o valor de  $D_v$  nunca muda novamente e a hipótese de indução é mantida. ■

**Lema 3.1.3.** *Suponha que durante a execução do algoritmo de busca em largura (Algoritmo 3) em um grafo  $G = (V, E)$ , a fila  $Q$  contenha os vértices  $(v_1, v_2, \dots, v_r)$ , onde  $v_1$  é o início da fila e  $v_r$  é o final da fila. Então,  $D_{v_r} \leq D_{v_1} + 1$  e  $D_{v_i} \leq D_{v_{i+1}}$  para todo  $i \in \{1, 2, \dots, r-1\}$ .*

**Prova:** A prova é realizada por indução relacionada ao número de operações de fila.

Para a base da indução, imediatamente antes do laço de repetição (antes da linha 8), têm-se apenas o vértice  $s$  na fila. O lema se mantém nessa condição.

Para o passo da indução, deve-se provar que o lema se mantém para depois do desenfileamento quanto do enfileiramento de um vértice. Se o início  $v_1$  é desenfileado,  $v_2$  torna-se o início. Pela hipótese de indução,  $D_{v_1} \leq D_{v_2}$ . Então  $D_{v_r} \leq D_{v_1} + 1 \leq D_{v_2} + 1$ . Assim, o lema prossegue com  $v_2$  no início.

Quando enfileira-se um vértice  $v$  (linha 15), ele se torna  $v_{r+1}$ . Nesse momento, já se removeu da fila o vértice  $u$  cujo as adjacências estão sendo analisadas, e pela hipótese de indução, o novo início  $v_1$  deve ter  $D_{v_1} \geq D_u$ . Assim,  $D_{v_{i+1}} = D_v = D_u + 1 \leq D_{v_1} + 1$ . Pela hipótese indutiva, têm-se  $D_{v_r} \leq D_u + 1$ , portanto  $D_{v_r} \leq D_u + 1 = D_v = D_{v_{i+1}}$  e o lema se mantém quando um vértice é enfileirado. ■

**Corolário 3.1.4.** *Suponha que os vértices  $v_i$  e  $v_j$  sejam enfileirados durante a execução do algoritmo de busca em largura (Algoritmo 3) e que  $v_i$  seja enfileirado antes de  $v_j$ . Então,  $D_{v_i} \leq D_{v_j}$  no momento que  $v_j$  é enfileirado.*

**Prova:** Imediata pelo Lema 3.1.3 e pela propriedade de que cada vértice recebe um valor  $D$  finito no máximo uma vez durante a execução do algoritmo. ■

**Teorema 3.1.5.** *Seja  $G = (V, E)$  um grafo orientado ou não-orientado, e suponha que o algoritmo de busca em largura (Algoritmo 3) seja executado em  $G$  partindo de um dado vértice  $s \in V$ . Então, durante sua execução, o algoritmo descobre todo o vértice  $v \in V$  atingível por  $s$ . Ao findar sua execução, o algoritmo retornará a distância mínima entre  $s$  e  $v \in V$ , então  $D_v = \delta(s, v) \forall v \in V$ .*



**Prova:** Por contradição, suponha que algum vértice receba um valor  $d$  não igual à distância de seu caminho mínimo. Seja  $v$  um vértice com  $\delta(s, v)$  mínimo que recebe tal valor  $d$  incorreto. O vértice  $v$  não poderia ser  $s$ , pois o algoritmo define  $D_s = 0$ , o que estaria correto. Então deve-se encontrar um outro  $v \neq s$ . Pelo Lema 3.1.2,  $D_v \geq \delta(s, v)$  e portanto, temos  $D_v > \delta(s, v)$ . O vértice  $v$  deve poder ser visitado a partir de  $s$ , se não puder,  $\delta(s, v) = \infty \geq D_v$ . Seja  $u$  o vértice imediatamente anterior a  $v$  em um caminho mínimo de  $s$  a  $v$ , de modo que  $\delta(s, v) = \delta(s, u) + 1$ . Como  $\delta(s, u) < \delta(s, v)$ , e em razão de selecionar-se  $v$ , têm-se  $D_u = \delta(s, u)$ . Reunindo essas propriedades, têm-se

$$D_v > \delta(s, v) = \delta(s, u) + 1 = D_u + 1. \quad (3.2)$$

Considere o momento que o algoritmo opta por desenfileirar o vértice  $u$  de  $Q$ . Nesse momento, o vértice  $v$  pode ter sido não-visitado, visitado e está na fila, ou visitado e já foi removido da fila. O restante da prova trabalha em cada um desses casos:

- Se  $v$  é não-visitado ( $C_v = \text{false}$ ), então a operação na linha 13 define  $D_v = D_u + 1$ , contradizendo o que é dito na Equação 3.2.
- Se  $v$  já foi visitado ( $C_v = \text{true}$ ) e foi removido da fila, pelo Corolário 3.1.4, têm-se  $D_v \leq D_u$  que também contradiz o que é dito na Equação 3.2.
- Se  $v$  já foi visitado e permanece na fila, quando  $v$  fora enfileirado  $w$  era o vértice antecessor imediato no caminho até  $v$ , logo  $D_v = D_w + 1$ . Considere também que  $w$  já foi desenfileirado. Porém, pelo Corolário 3.1.4,  $D_w \leq D_u$ , então, temos  $D_v = D_w + 1 \leq D_u + 1$ , contradizendo a Equação 3.2.

■

### 3.1.2.2 Árvores em Largura

O algoritmo de busca em largura (Algoritmo 3) criar uma árvore de busca em largura à medida que efetua busca no grafo  $G = (V, E)$ . Também chamada de “subgrafo dos

predecessores”, uma árvore de busca em lagura pode ser definida como  $G_\pi = (V_\pi, E_\pi)$ , na qual  $V_\pi = \{v \in V : A_v \neq \text{null}\} \cup \{s\}$  e  $E_\pi = \{(A_v, \pi, v) : v \in V_\pi \setminus \{s\}\}$ .

## 3.2 Busca em Profundidade

A busca em profundidade (Depth-First Search - DFS) realiza a visita a vértices cada vez mais profundos/distantes de um vértice de origem  $s$  até que todos os vértices sejam visitados. Parte-se a busca do vértice mais recentemente descoberto do qual ainda saem arestas inexploradas. Depois que todas as arestas foram visitadas no mesmo caminho, a busca retorna pelo mesmo caminho para passar por arestas inexploradas. Quando não houver mais arestas inexploradas a busca em profundidade pára (CORMEN et al., 2012).

O Algoritmo 4 apresenta um pseudo-código para a busca em profundidade. Note que no lugar de usar uma fila, como na busca em largura (vide Algoritmo 3, utiliza-se uma pilha. Os arranjos  $C_v$ ,  $T_v$ , e  $A_v \forall v \in V$  são respectivamente o arranjo de marcação de visitados, do tempo de visita e do vértice antecessor à visita.

Cormen et al. (2012) afirma que é mais comum realizar a busca em profundidade de várias fontes. Desse modo, seu livro reporta um algoritmo que sempre que um subgrafo conexo é completamente buscado, parte-se de um outro vértice de origem não-visitado ainda (um vértice não atingível por  $s$ ).

### 3.2.1 Complexidade da Busca em Profundidade

Da mesma maneira que a complexidade da busca em largura, a busca em profundidade possui complexidade  $O(|V| + |E|)$ . As operações da pilha resultariam tempo  $O(|V|)$ . Muitos arestas/arcs incidem em vértices já visitados, então inclui-se na complexidade de uma DFS a varredura de todas as adjacências, que demandaria  $\Theta(|E|)$ .

---

**Algoritmo 4:** Busca em profundidade.

---

**Input** : um grafo  $G = (V, E)$ , vértice de origem  $s \in V$   
 // configurando todos os vértices  
 1  $C_v \leftarrow \text{false} \forall v \in V$   
 2  $T_v \leftarrow \infty \forall v \in V$   
 3  $A_v \leftarrow \text{null} \forall v \in V$   
 // configurando o vértice de origem  
 4  $C_s \leftarrow \text{true}$   
 5 tempo  $\leftarrow 0$   
 // preparando fila de visitas  
 6  $S \leftarrow \text{Pilha}()$   
 7  $S.\text{push}(s)$   
 // propagação das visitas  
 8 **while**  $S.\text{empty}() = \text{false}$  **do**  
 9     tempo  $\leftarrow$  tempo + 1  
 10     $u \leftarrow S.\text{pop}()$   
 11     $T_u \leftarrow$  tempo  
 12    **foreach**  $v \in N(u)$  **do**  
 13       **if**  $C_v = \text{false}$  **then**  
 14            $C_v \leftarrow \text{true}$   
 15            $A_v \leftarrow u$   
 16            $S.\text{push}(v)$   
 17 **return**  $(C, T, A)$

---



## Caminhos e Ciclos

Este capítulo tem o objetivo de introduzir o conceito de caminhos e ciclos, e seus principais problemas. Dois problemas clássicos serão definidos e algoritmos para os mesmos, apresentados.

Antes de iniciar a abordar os conteúdos deste capítulo, é importante entender o que é um caminho e um ciclo, para estabelecer suas diferenças no contexto de grafos. Um caminho<sup>1</sup> é uma sequência de vértices  $\langle v_1, v_2, \dots, v_n \rangle$  conectados por uma aresta ou arco. Gross e Yellen (2006) definem um caminho como um grafo com dois vértices com grau 1 e os demais vértices com grau 2, formando uma estrutura linear. Um ciclo (ou circuito)<sup>2</sup> é uma cadeia fechada de vértices  $\langle v_1, v_2, \dots, v_n, v_1 \rangle$  onde cada par consecutivo é conectado por uma aresta ou arco. É como um caminho com o fim e o início conectados.

### 4.1 Caminhos e Ciclos Eulerianos

Dado um grafo orientado ou não orientado  $G = (V, E)$ , um caminho Euleriano é uma “trilha” ou seja, uma sequência de arestas/arcos onde cada aresta/arco é visitada(o) uma

---

<sup>1</sup> Em inglês, chamado de *path*.

<sup>2</sup> Em inglês, chamado de *cycle* ou *circuit*.

única vez. O ciclo Euleriano é semelhante ao caminho, com exceção de que começa e termina na mesma aresta/arco. Um grafo é dito Euleriano se possui um ciclo Euleriano.

Os problemas de caminho e ciclo Euleriano surgiram com o conhecido problema das Sete Pontes de Königsberg por Euler em 1736. O problema consistia em atravessar as todas as sete pontes da cidade de Königsberg da Prussia (hoje Kaliningrado na Rússia) sem repetí-las.

#### Desafio

Observando um mapa antigo das sete pontes, você consegue determinar o caminho Euleriano?

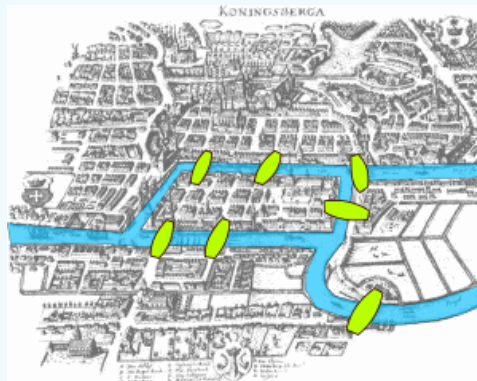


Figura 5 – Mapa das sete pontes de Königsberg na época de Euler.

### 4.1.1 Algoritmo de Hierholzer

O algoritmo de Hierholzer (Algoritmo 5) foi desenvolvido em 1873. Ele identifica o ciclo Euleriano em tempo  $O(|E|)$ .

---

**Algoritmo 5:** Algoritmo de Hierholzer.

---

```

Input : um grafo  $G = (V, E)$ 

1 foreach  $e \in E$  do
2    $C_e \leftarrow \text{false}$ 
3  $v \leftarrow$  selecionar um  $v \in V$  arbitrariamente
   // "buscarSubcicloEuleriano" invoca o Algoritmo 6
4  $(r, \text{Ciclo}) \leftarrow \text{buscarSubcicloEuleriano}(G, v, C)$ 
5 if  $r = \text{false}$  then
6   return  $(\text{false}, \text{null})$ 
7 else
8   if  $\exists e \in E : C_e = \text{false}$  then
9     return  $(\text{false}, \text{null})$ 
10  else
11    return  $(\text{true}, \text{Ciclo})$ 

```

---

**Algoritmo 6:** Algoritmo de Auxiliar “*buscarSubcicloEuleriano*”.**Input** : um grafo  $G = (V, E)$ , um vértice  $v \in V$ , um vetor  $C$ 

```

1   $Ciclo \leftarrow ()$ 
2   $t \leftarrow v$ 
3  repeat
4      if  $\nexists \{v, u\} \in E : C_e = \text{false}$  then
5          return (false, null)
6      else
7           $\{v, u\} \leftarrow$  selecionar uma aresta  $e \in E$  tal que  $C_e = \text{false}$ 
8           $C_{\{v, u\}} \leftarrow \text{true}$ 
9           $v \leftarrow u$ 
10 until  $v \neq t$ 
11 foreach  $x \in \{u \in Ciclo : \exists \{u, w\} \in \{e \in E : C_e = \text{false}\}\}$  do
12      $(r, Ciclo') \leftarrow \text{buscarSubcicloEuleriano}(G, v, C)$ 
13     if  $r = \text{false}$  then
14         return (false, null)
15     Assumindo que  $Ciclo = \langle v_1, v_2, \dots, x, \dots, v_1 \rangle$  e  $Ciclo' = \langle x, u_1, u_2, \dots, u_k, x \rangle$ , alterar
         $Ciclo$  para  $Ciclo = \langle v_1, v_2, \dots, \underline{x}, u_1, u_2, \dots, u_k, x, \dots, v_1 \rangle$ , ou seja, inserir o  $Ciclo'$  no
        lugar da posição de  $x$  em  $Ciclo$ .
16 return (true,  $Ciclo$ )

```

**Desafio**

Explique porque a complexidade de Algoritmo de Hierholzer é de  $O(|E|)$ .

**Teorema 4.1.1.** Um grafo não-orientado  $G = (V, E)$  é (ou possui um ciclo) Euleriano se e somente se  $G$  é conectado e cada vértice tem um grau par.

**Prova:** Para o grafo conectado  $G$ , para todo  $m \geq 0$ , considere  $S(m)$  ser a hipótese de que se  $G$  têm  $m$  arestas e todos os graus dos vértices forem pares, então  $G$  é Euleriano.

Vamos a prova por indução.



A base da indução é o  $S(0)$ . Nessa hipótese,  $G$  não tem arestas, então para todo  $v \in V$ ,  $d_v = 0$ . Como zero é par  $G$  é trivialmente Euleriano.

O passo da indução implica que as hipóteses  $S(0) \wedge S(1) \wedge \dots \wedge S(k-1) \implies S(k)$ . Suponha um  $k \geq 1$  e assuma que  $S(1) \wedge \dots \wedge S(k+1)$  é verdade. Precisa-se provar que  $S(k)$  é verdade. Suponha que  $G$  tenha  $k$  arestas, é conectado e possui somente vértices com valor de grau par.

- Desde que  $G$  é um grafo conectado e possui vértices com grau par, o menor grau é 2. Então esse grafo  $G$  precisa ter um ciclo  $C$ .
- Suponha um novo grafo  $H$  gerado a partir de  $G$  sem as arestas que estão no ciclo  $C$ . Note que  $H$  pode estar desconectado. Pode-se dizer que  $H$  é a união dos componentes conectados  $H_1, H_2, \dots, H_t$ . O grau dos vértices cada  $H_i$  precisa ser par.
- Aplicando a hipótese de indução a cada  $H_i$ , que é  $S(|E(H_1)|), \dots, S(|E(H_t)|)$ , cada  $H_i$  terá um ciclo Euleriano  $C_i$ .
- Pode-se criar um circuito Euleriano para  $G$  por dividir o ciclo  $C$  em ciclos  $C_i$ . Primeiro, comece em qualquer vértice em  $C_i$  e percorra até atingir outro  $H_i$ . Então, percorra  $C_i$  e volte ao  $C$  até atingir o próximo  $H_i$ .

Finalmente,  $G$  precisa ser Euleriano. Isso completa o passo da indução como  $S(0) \wedge S(1) \wedge \dots \wedge S(k-1) \implies S(k)$ . Por esse princípio, para  $m \geq 0$ ,  $S(m)$  é verdadeiro. ■

## 4.2 Caminhos e Ciclos Hamiltonianos

Ciclos ou caminhos Hamiltonianos são aqueles que percorrem todos os vértices de um grafo apenas uma vez. Mais especificamente para um ciclo Hamiltoniano, o início e o fim terminam no mesmo vértice. O nome Hamiltoniano vem de William Rowan Hamilton, o inventor de um jogo que desafia a buscar um ciclo pelas arestas de dodecaedro (figura tridimensional de 12 faces).

Um grafo é dito Hamiltoniano se possui um ciclo Hamiltoniano.

Há  $|V|!$  diferentes sequências de vértices que podem ser caminhos Hamiltonianos, então, um algoritmo de força-bruta demanda muito tempo computacional. O problema de decisão para encontrar um caminho ou ciclo Hamiltoniano é considerado *NP-Completo*.

### 4.2.1 Caixeiro Viajante

Dado um grafo completo<sup>3</sup>  $G = (V, E, w)$  no qual  $V$  é o conjunto de vértices,  $E$  é o conjunto de arestas e  $w: E \rightarrow \mathbb{R}^+$  é a função dos pesos (ou custo ou distâncias), busca-se pelo ciclo Hamiltoniano de menor soma total de peso (menor custo ou distância).

Um dos algoritmos mais eficientes para resolvê-lo é o de programação dinâmica Held-Karp (ou Bellman–Held–Karp, no Algoritmo 7). No entanto, o mesmo demanda tempo computacional de  $O(2^{|V|}|V|^2)$ .

---

**Algoritmo 7:** Algoritmo de Bellman-Held-Karp.

---

**Input** : um grafo  $G = (V, E = V \times V, w)$

```

1 for  $k \leftarrow 2$  to  $|V|$  do
2    $C(\{k\}, k) \leftarrow w((1, k))$ 
3 for  $s \leftarrow 2$  to  $|V| - 1$  do
4   foreach  $S \in \{x \in \{2, 3, \dots, |V|\} : |x| = s\}$  do
5     foreach  $v \in S$  do
6        $C(S, v) \leftarrow \min_{u \neq v, u \in S} \{C(S \setminus \{v\}, u) + w((u, v))\}$ 
7 return  $\min_{v \in V \setminus \{1\}} \{C(\{2, 3, \dots, |V|\}, v) + w((v, 1))\}$ 

```

---

#### Desafio

Execute o Algoritmo 7 sobre o grafo  $G = (V = \{1, 2, 3, 4\}, E = V \times V, w)$ , no qual  $w(\{1, 2\}) \rightarrow 10$ ,  $w(\{1, 3\}) \rightarrow 15$ ,  $w(\{1, 4\}) \rightarrow 20$ ,  $w(\{2, 3\}) \rightarrow 35$ ,  $w(\{2, 4\}) \rightarrow 25$  e  $w(\{3, 4\}) \rightarrow 30$ .

A resposta deve ser 80.

<sup>3</sup> Em um grafo completo, o conjunto de arestas é definido por  $E = V \times V$ .

## Caminhos Mínimos

Em um problema de Caminho Mínimo, há um grafo ponderado orientado ou não  $G = (V, E, w)$ , onde  $V$  é o conjunto de vértices,  $E$  é o conjunto de arcos ou arestas, e  $w : E \rightarrow \mathbb{R}$  é a função que representa o peso entre dois vértices (distância ou custo das arestas). Para um caminho  $p = \langle v_0, v_1, \dots, v_k \rangle$  seu peso é dado por  $w(p) = \sum_{i=1}^k w(v_{i-1}, v_i)$  (CORMEN et al., 2012).

O peso de um caminho mínimo de  $u$  a  $v$  é dado por

$$\delta(u, v) = \begin{cases} \min\{w(p) : u \xrightarrow{p} v\}, & \text{se há um caminho de } u \text{ para } v, \\ \infty, & \text{caso contrário.} \end{cases} \quad (5.1)$$

Há algumas variantes para os problemas de caminho mínimo (CORMEN et al., 2012):

- Problema de caminhos mínimos de fonte única: dado um grafo ponderado  $G = (V, E, w)$  e um vértice de origem  $s \in V$ , encontrar o caminho de custo  $\delta(s, v)$  para todo o  $v \in V$ ;
- Problema de caminhos mínimos para um destino: dado um grafo ponderado  $G = (V, E, w)$ , um vértice de destino  $t \in V$ , determinar o caminho de custo  $\delta(v, t)$  para todo o  $v \in V$ ;

- Problema de caminhos mínimos para um par: dado um grafo ponderado  $G = (V, E, w)$ , um vértice de origem  $s \in V$  e um vértice de destino  $t$ , determinar o caminho de custo  $\delta(s, t)$ ;
- Problema de caminhos mínimos para todos os pares: dado um grafo ponderado  $G = (V, E, w)$ , encontrar o caminho de custo  $\delta(u, v)$  para todo o par  $u, v \in V$ .

## Pesos Negativos

Os problemas de caminho mínimo geralmente operam sem erros em grafos com pesos negativos. Uma exceção a isso é quando há um ciclo com peso negativo. Nesse caso, nunca haverá um peso definido, pois é sempre possível diminuir o peso total do caminho percorrendo o ciclo mais uma vez.

## Inicialização e Relaxamento

---

### Algoritmo 8: Inicialização de $G$ .

---

**Input** : um grafo  $G = (V, E, w)$ , um vértice de origem  $s \in V$

// inicialização

- 1  $D_v \leftarrow \infty \forall v \in V$
- 2  $A_v \leftarrow \text{null} \forall v \in V$
- 3  $D_s \leftarrow 0$
- 4 **return**  $(D, A)$

---



---

### Algoritmo 9: Relaxamento de $v$ .

---

**Input** : um grafo  $G = (V, E, w)$ ,  $(u, v) \in E$ ,  $A, D$

- 1 **if**  $D_v > D_u + w((u, v))$  **then**
- 2      $D_v \leftarrow D_u + w((u, v))$
- 3      $A_v \leftarrow u$
- 4 **return**  $D_v, A_v$

---

## 5.1 Propriedades de Caminhos Mínimos

Propriedade de subcaminhos de caminhos mínimos o são

**Lema 5.1.1.** *Dado um grafo ponderado  $G = (V, E, w)$ , um caminho mínimo entre  $v_1$  e  $v_k$   $p = \langle v_1, v_2, \dots, v_k \rangle$ , suponha que para quaisquer  $i$  e  $j$ ,  $1 \leq i \leq j \leq k$ . Todo o subcaminho de  $p$  chamado de  $p_{ij} = \langle v_i, v_{i+1}, \dots, v_j \rangle$  é um caminho mínimo de  $v_i$  a  $v_j$ .*

**Prova:** Se o caminho  $p$  for decomposto em  $v_1 \xrightarrow{p_{1i}} v_i \xrightarrow{p_{ij}} v_j \xrightarrow{p_{jk}} v_k$ , têm-se  $w(p) = w(p_{0j}) + w(p_{ij}) + w(p_{jk})$ . Suponha que exista um caminho  $p'_{ij}$  de  $v_i$  a  $v_j$  com peso  $w(p'_{ij}) < w(p_{ij})$ . Então,  $v_1 \xrightarrow{p_{1i}} v_i \xrightarrow{p'_{ij}} v_j \xrightarrow{p_{jk}} v_k$  é um caminho de  $v_1$  a  $v_k$  cujo o peso  $w(p) = w(p_{0j}) + w(p'_{ij}) + w(p_{jk})$  é menor do que  $w(p)$ , o que contradiz a hipótese de que  $p$  seja um caminho mínimo de  $v_1$  a  $v_k$ . ■

Propriedade de desigualdade triangular

**Lema 5.1.2.** *Seja  $G = (V, E, w)$  um grafo ponderado e  $s \in V$  um vértice de origem, então para todas as arcos/arestas  $(u, v) \in E$  têm-se*

$$\delta(s, v) \leq \delta(s, u) + w((u, v)). \quad (5.2)$$

**Prova:** Suponha que  $p$  seja um caminho entre  $s$  e  $v$ . Então,  $p$  não tem peso maior do que qualquer outro caminho de  $s$  a  $v$ . Especificamente,  $p$  não possui peso maior que o caminho de  $s$  até o vértice  $u$  que utiliza a aresta/arco  $(u, v)$  para atingir o destino  $v$ . ■

Propriedade de limite superior

**Lema 5.1.3.** *Seja  $G = (V, E, w)$  um grafo ponderado dirigido ou não com a função de peso  $w : E \rightarrow \mathbb{R}$ . Seja  $s \in V$  o vértice de origem, considera-se também o grafo  $G$  inicializado (Algoritmo 8). Então,  $D_v \geq \delta(s, v)$  para todo  $v \in V$ , e esse invariante é mantido para qualquer sequência de etapas de relaxamentos em  $G$  (Algoritmo 9). Além disso, tão logo  $D_v$  alcance seu limite inferior  $\delta(s, v)$ , nunca mais se altera.*

**Prova:** Prova-se que o invariante  $D_v \geq \delta(s, v)$  para todo o vértice  $v \in V$  por indução em relação ao número de etapas de relaxamento.

Para a base da indução,  $D_v \geq \delta(s, v)$  é verdadeiro após a inicialização (Algoritmo 8), pois esse procedimento define que  $D_v = \infty$  para todo  $v \in V \setminus \{s\}$ , ou seja,  $D_v \geq \delta(s, v)$  mesmo que  $v$  seja inatingível em um caminho mínimo a partir de  $s$ . Nesse momento  $D_s = 0 \geq \delta(s, s)$ , observando que  $\delta(s, s) = \infty$  caso  $s$  participe de um ciclo negativo.

Para o passo da indução, considere o relaxamento de uma aresta/arco  $(u, v)$ . Pela hipótese de indução,  $D_x \geq \delta(s, x)$  para todo o  $x \in V$  antes do relaxamento. O único valor de  $D$  que pode mudar é  $D_v$ . Se ele mudar, têm-se

$$\begin{aligned} D_v &= D_u + w((u, v)) \\ &\geq \delta(s, u) + w((u, v)) \text{ (pela hipótese da indução)} \\ &\geq \delta(s, v) \text{ (pela desigualdade triangular,} \\ &\quad \text{Lema 5.1.2)} \end{aligned} \tag{5.3}$$

e, portanto o invariante é mantido.

Para demonstrar que  $D_v$  não se altera depois que  $D_v = \delta(s, v)$ , por ter alcançado seu limite inferior,  $D_v$  não pode diminuir porque  $D_v \geq \delta(s, v)$  e não pode aumentar porque o relaxamento não aumenta valores de  $D$ . ■

### Propriedade de inexistência de caminho

**Corolário 5.1.4.** *Supõe-se que, em um grafo  $G = (V, E, w)$  ponderado dirigido ou não, nenhum caminho conecte o vértice de origem  $s \in V$  a um vértice  $v \in V$ . Então, depois que o grafo  $G$  é inicializado (Algoritmo 8), temos  $D_v = \delta(s, v) = \infty$  e essa desigualdade é mantida como um invariante para qualquer sequência de etapas de relaxamento (Algoritmo 9) nas arestas de  $G$ ;*

**Prova:** Pela propriedade de limite superior (Lema 5.1.3), têm-se sempre  $\infty = \delta(s, v) \leq D_v$ , portanto  $D_v = \infty = \delta(s, v)$ . ■

### Propriedade de convergência

**Lema 5.1.5.** *Seja  $G = (V, E, w)$  um grafo ponderado dirigido ou não,  $s \in V$  um vértice de origem e  $s \rightsquigarrow u \rightarrow v$  um caminho mínimo de  $s$  a  $v$  em  $G$ . Suponha que  $G$  seja inicializado (Algoritmo 8) e depois uma sequência de etapas de relaxamento (Algoritmo 9) é executado para todas as arestas/arcos de  $G$ . Se  $D_u = \delta(s, u)$  em qualquer tempo anterior da chamada, então  $D_u = \delta(s, u)$  igual em toda a chamada.*

**Prova:** Pela propriedade do limite superior (Lema 5.1.3), se  $D_u = \delta(s, u)$  em algum momento antes do relaxamento da aresta/arco  $(u, v)$ , então essa igualdade se mantém válida a partir de sua definição. Em particular, após o relaxamento (Algoritmo 9) da aresta/arco  $(u, v)$ , têm-se:

$$\begin{aligned} D_v &\leq D_u + w((u, v)) \text{ pelo Corolário 5.1.4} \\ &= \delta(s, u) + w((u, v)) \\ &= \delta(s, v) \text{ pelo Lema 5.1.1.} \end{aligned} \tag{5.4}$$

Pela propriedade do limite superior (Lema 5.1.3)  $D_v \geq \delta(s, v)$ , da qual concluímos que  $D_v = \delta(s, v)$ , e essa igualdade é mantida daí em diante. ■

### Propriedade de relaxamento de caminho

**Lema 5.1.6.** *Seja  $G = (V, E, w)$  um grafo ponderado dirigido ou não e  $s \in V$  um vértice de origem. Considere qualquer caminho mínimo  $p = \langle v_1, v_2, \dots, v_k \rangle$  de  $s = v_1$  a  $v_k$ . Se  $G$  é inicializado (Algoritmo 8) e depois ocorre uma sequência de etapas de relaxamento (Algoritmo 9) que inclui, pela ordem, relaxar as arestas/arcos  $(v_1, v_2), (v_2, v_3), \dots, (v_{k-1}, v_k)$ , então  $D_k = \delta(s, v_k)$  depois desses relaxamentos e todas as vezes daí em diante. Essa propriedade se mantém válida, não importa quais outros relaxamentos forem realizados.*

**Prova:** Esta prova é realizada por indução, na qual têm-se  $D_{v_i} = \delta(s, v_i)$  depois que o  $i$ -ésimo aresta/arco do caminho  $p$  é relaxado.

Para a base,  $i = 1$  antes que quaisquer arestas/arcs em  $p$  sejam relaxados. Têm-se  $D_{v_1} = D_s = 0 = \delta(s, s)$  pela inicialização. Pela propriedade do limite superior (Lema 5.1.3) o valor  $D_s$  nunca se altera depois da inicialização.

Pelo passo da indução, supõe-se que  $v_{i-1} = \delta(s, v_{i-1})$  e examina-se o que acontece quando se relaxa a aresta  $(v_{i-1}, v_i)$ . Pela propriedade de convergência (Lema 5.1.5), após o relaxamento dessa aresta, têm-se  $D_v = \delta(s, v_i)$  e essa igualdade é mantida todas as vezes depois disso. ■

**Lema 5.1.7.**

**Prova:** ■

## 5.2 Bellman-Ford

O algoritmo de Bellman-Ford resolve o problema de caminhos mínimos de uma única fonte. Um pseudo-código está representado no Algoritmo 10. Como entrada para o algoritmo deve-se determinar um grafo ponderado orientado ou não  $G = (V, E, w)$ , onde  $V$  é o conjunto de vértices,  $E$  o conjunto de arestas/arcs e  $w : E \rightarrow \mathbb{R}$ , e um vértice de origem  $s \in V$ . O algoritmo devolve um valor booleano **false** quando não foi encontrado um ciclo de peso negativo em  $G$ . Caso contrário, retorna **true**, o antecessor de cada vértice  $v$  no caminho mínimo em  $A_v$  e a peso  $\delta(s, v)$  em  $D_v$ .

O algoritmo vai progressivamente diminuindo a estimativa de peso do caminho de



s a  $v \in V$  até que se obtenha o caminho mínimo e  $D_v = \delta(s, v)$  para todo  $v \in V$ .

---

**Algoritmo 10:** Algoritmo de Bellman-Ford.

---

**Input** : um grafo  $G = (V, E, w)$ , um vértice de origem  $s \in V$

// inicialização

1  $D_v \leftarrow \infty \forall v \in V$

2  $A_v \leftarrow \text{null} \forall v \in V$

3  $D_s \leftarrow 0$

4 **for**  $i \leftarrow 1$  **to**  $|V| - 1$  **do**

5     **foreach**  $(u, v) \in E$  **do**

        // relaxamento

6         **if**  $D_v > D_u + w((u, v))$  **then**

7              $D_v \leftarrow D_u + w((u, v))$

8              $A_v \leftarrow u$

9 **foreach**  $(u, v) \in E$  **do**

10     **if**  $D_v > D_u + w((u, v))$  **then**

11         **return** (false, null, null)

12 **return** (true,  $D$ ,  $A$ )

---

### 5.2.1 Complexidade de Bellman-Ford

Quanto a complexidade computacional em tempo computacional de Bellman-Ford, observando as primeiras instruções, têm-se a inicialização que demanda  $\Theta(|V|)$  pois as estruturas são inicializadas para cada vértice. A partir do primeiro conjunto de laços de repetição, há o laço mais externo que repete  $|V| - 1$  vezes. Para cada repetição desse laço, passa-se por cada aresta em  $E$ , logo esse primeiro conjunto de laços dita  $(|V| - 1)|E|$  execuções da comparação na linha 6. O último laço de repetição, faz ao máximo  $|E|$  verificações da comparação na linha 10. Então, o algoritmo de Bellman-Ford é executado no tempo computacional de  $O(|V||E|)$ .

### 5.2.2 Corretude de Bellman-Ford

**Lema 5.2.1.** *Seja  $G = (V, E, w)$  um grafo ponderado e um vértice de origem  $s \in V$ , suponha que  $G$  não possua nenhum ciclo de peso negativo que possa ser alcançado por  $s$ . Então, depois de executar as  $|V| - 1$  iterações nas linhas 4 a 8 com o algoritmo de Bellman-Ford (Algoritmo 10), têm-se  $D_v = \delta(s, v)$  para todo  $v \in V$ .*

**Prova:** Prova-se o esse lema através da propriedade de relaxamento de caminho (Lema 5.1.6). Considera-se que qualquer vértice  $v$  possa ser atingido por  $s$  e seja  $p = \langle v_1, v_2, \dots, v_k \rangle$  um caminho mínimo de  $s$  a  $v$ , no qual  $v_1 = s$  e  $v_k = v$ . Como caminhos mínimos são simples,  $p$  tem no máximo  $|V| - 1$  arestas/arcos, sendo  $k \leq |V| - 1$ . Cada uma das  $|V| - 1$  iterações do laço da linha 4 relaxa todas as  $|E|$  arestas/arcos. Entre as arestas relaxadas na  $i$ -ésima iteração, para  $i = 1, 2, \dots, k$ , está  $(v_{i-1}, v_i)$ . Então, pela propriedade de relaxamento de caminho  $D_v = D_{v_k} = \delta(s, v_k) = \delta(s, v)$ . ■

**Corolário 5.2.2.** *Seja  $G = (V, E, w)$  um grafo ponderado dirigido ou não e  $s \in V$  o vértice de origem, supõe-se que  $G$  não tenha nenhum ciclo negativo que possa ser atingido por  $s$ . Então, para cada vértice  $v \in V$ , existe um caminho de  $s$  a  $v$  sse o algoritmo de Bellman-Ford termina com  $D_v < \infty$  quando é executado para  $G$  e  $s$ .*

**Prova:** Se  $v \in V$  pode ser atingido por  $s$ , então existe uma aresta/arco  $(u, v)$ . Então,  $\delta(s, v) < \infty$  através da propriedade de convergência (Lema 5.1.5). ■

**Teorema 5.2.3.** *Considera-se o algoritmo de Bellman-Ford (Algoritmo 10) executado para um grafo  $G = (V, E, w)$  (((CONTINUAR)))*

**Prova:**

■

## 5.3 Dijkstra

---

**Algoritmo 11:** Algoritmo de Dijkstra.

---

**Input** : um grafo  $G = (V, E)$ , um vértice de origem  $s \in V$

---

```

1   $D_v \leftarrow \infty \forall v \in V$ 
2   $A_v \leftarrow \text{null} \forall v \in V$ 
3   $C_v \leftarrow \text{false} \forall v \in V$ 
4   $D_s \leftarrow 0$ 
5  for  $\exists v \in V (C_v = \text{false})$  do
6       $u \leftarrow \arg \min_{v \in V \{D_v | C_v = \text{false}\}}$ 
7       $C_u \leftarrow \text{true}$ 
8      foreach  $v \in \{v \in V | (u, v) \in A \wedge C_v = \text{false}\}$  do
9          if  $D_v > D_u + w((u, v))$  then
10              $D_v \leftarrow D_u + w((u, v))$   $A_v \leftarrow u$ 
11 return  $(D, A)$ 

```

---

## 5.4 Floyd-Warshall

$$W(G(V, E, w))_{uv} = \begin{cases} 0, & \text{se } u = v, \\ w((u, v)), & \text{se } u \neq v \wedge (u, v) \in E, \\ \infty, & \text{se } u \neq v \wedge (u, v) \notin E. \end{cases} \quad (5.5)$$

---

**Algoritmo 12:** Algoritmo de Floyd-Warshall.
 

---

**Input** : um grafo  $G = (V, E, w)$

---

```

1  $D^{(0)} \leftarrow W(G)$ 
2 foreach  $k \in V$  do
3   seja  $D^{(k)} = (d_{uv}^{(k)})$  uma nova matriz  $|V| \times |V|$ 
4   foreach  $u \in V$  do
5     foreach  $v \in V$  do
6        $d_{uv}^{(k)} \leftarrow \min\{d_{uv}^{(k-1)}, d_{uk}^{(k-1)} + d_{kv}^{(k-1)}\}$ 
7 return  $D^{(|V|)}$ 
  
```

---

# **Agradecimentos**



# Referências

CORMEN, T. H. et al. *Algoritmos: teoria e prática*. Rio de Janeiro: Elsevier, 2012. Citado 6 vezes nas páginas [4](#), [15](#), [19](#), [21](#), [24](#) e [33](#).

GROSS, J. T.; YELLEN, J. *Graph Theory and Its Applications*. FL: CRC Press, 2006. Citado na página [27](#).

NETTO, P. O. B. *Grafos: teoria, modelos, algoritmos*. São Paulo: Edgard Blucher, 2006. Citado 4 vezes nas páginas [3](#), [9](#), [10](#) e [13](#).





## Revisão de Matemática Discreta

Conjuntos é uma coleção de elementos sem repetição em que a sequência não importa. No Brasil, utilizamos a seguinte notação para enumerar todos os elementos de um conjunto. Na Equação (A.1), é possível visualizar a representação de um conjunto denominado  $A$ , formado pelos elementos  $e_1, e_2, \dots, e_n$ . Devido ao uso da vírgula como separador de decimais, usa-se formalmente o ponto-e-vírgula. Para essa disciplina, podemos utilizar a vírgula como o separador de elementos em um conjunto, desde que utilizados o ponto como separador de decimais<sup>1</sup>. Para dar nome a um conjunto, geralmente utiliza-se uma letra maiúscula ou uma palavra com a inicial em maiúscula.

$$A = \{e_1; e_2; \dots; e_n\} \quad (\text{A.1})$$

Há duas formas de definir conjuntos. A forma por enumeração por elementos, utiliza notação semelhante a da Equação (A.1). São exemplos de definição de conjuntos por enumeração:

- $N = \{\diamond, \spadesuit, \heartsuit, \clubsuit\};$
- $V = \{a, e, i, o, u\};$
- $G = \{\alpha, \beta, \gamma, \delta, \epsilon, \zeta, \eta, \theta, \iota, \kappa, \lambda, \mu, \nu, \xi, \pi, \rho, \sigma, \tau, \upsilon, \phi, \chi, \psi, \omega\};$
- $R = \{-100.9, 12.432, 15.0\};$
- $D = \{1, 2, 3, 4, 5, 6, 7, 8, 9, 10\}.$

A forma por descrição de propriedades utiliza-se de uma notação que evidencia a natureza de cada elemento pela descrição de um em um formato genérico. Por exemplo o conjunto  $D$ , descrito na Equação (A.2), denota um conjunto com os mesmos elementos em  $\{1, 2, 3, 4, 5, 6, 7, 8, 9, 10\}$ .

$$D = \{x \in \mathbb{Z} | x > 1 \wedge x \leq 10\} \quad (\text{A.2})$$

. Então para que complicar utilizando uma notação não enumerativa? Por dois motivos: por questões de simplicidade, dado a quantidade de conjuntos; ou para representar conjuntos infinitos, como no exemplo dos inteiros pares  $Pares = \{x \in \mathbb{Z} | x \equiv 0 \pmod{2}\}$ .

<sup>1</sup> Nas anotações presentes nesse documento, utiliza-se a “notação americana”. Para a Equação (A.1), teria-se  $A = \{e_1, e_2, \dots, e_n\}$ .

Para o conjunto dos pares, ainda podemos utilizar uma descrição mais informal, mas que é dependente da conhecimento sobre a linguagem Portuguesa:  $Pares = \{x \in \mathbb{Z} \mid x \text{ é inteiro e par}\}$ .

Para denotar a cardinalidade (quantidade de elementos) de um conjunto, utilizamos o símbolo “|”. Para os conjuntos apresentados acima, é correto afirmar que:

- $|N| = 4$ ;
- $|V| = 5$ ;
- $|R| = 3$ ;
- $|D| = 10$ ;
- $|Pares| = \infty$ .

A cardinalidade pode ser utilizada para identificar quantos símbolos são necessários para representar um elemento. Por exemplo,  $|12, 66| = 5$

Para denotar conjuntos vazios, adota-se duas formas de representação:  $\{\}$  ou  $\emptyset$ . Utilizando o operador de cardinalidade, têm-se  $|\{\}| = |\emptyset| = 0$ .

Como principais operações entre conjuntos, pode-se destacar:

- União ( $\cup$ ): união de dois conjuntos. Exemplo:  $\{1, 2, 3, 4, 5\} \cup \{2, 4, 6, 8\} = \{1, 2, 3, 4, 5, 6, 8\}$ ;
- Intersecção ( $\cap$ ): intersecção de dois conjuntos. Exemplo:  $\{1, 2, 3, 4, 5\} \cap \{2, 4, 6, 8\} = \{2, 4\}$ ;
- Diferença (– ou  $\setminus$ ): diferença de dois conjuntos. Exemplo  $\{1, 2, 3, 4, 5\} \setminus \{2, 4, 6, 8\} = \{1, 3, 5\}$ ;
- Produto cartesiano ( $\times$ ): Exemplo  $\{1, 2, 3\} \times \{A, B\} = \{(1, A), (2, A), (3, A), (1, B), (2, B), (3, B)\}$ ;
- Conjunto de partes (ou *power set*): o conjunto de todos os subconjuntos dos elementos de um conjunto. Para o conjunto  $A = \{1, 2, 3\}$  o conjunto das partes seria  $2^A = P(A) = \{\{\}, \{1\}, \{2\}, \{3\}, \{1, 2\}, \{1, 3\}, \{2, 3\}, \{1, 2, 3\}\}$ .

Funções são representadas de forma diferente na matemática discreta. Busca-se estabelecer a relação entre um conjunto de domínio (entrada da função) e um contradomínio (resposta da função). A Equação (A.3) exibe a forma como é utilizada para formalizar uma função. Nesse formato, passa-se a natureza da entrada e da saída de um problema. Por exemplo, a função que gera a correspondência entre o domínio dos inteiros positivos em base decimal para base binária seria  $f: x \in \mathbb{Z}^+ \rightarrow \{0, 1\}^{\log_2(|x|+1)}$ .

$$\text{nome da funcao} : \text{dominio} \rightarrow \text{contradominio} \quad (\text{A.3})$$

Para representar uma coleção de itens onde a sequência importa e a repetição pode ocorrer, utiliza-se as tuplas. Uma tupla é representada da forma demonstrada na Equação (A.4).

$$A = (e_1, e_2, \dots, e_n) \quad (\text{A.4})$$

. Um exemplo de uma tupla, pode ser lista de chamada de uma turma ordenada lexicograficamente.